

# بررسی اثر تجویز داخل بینی انسولین بر روی حافظه فضایی در مدل حیوانی

## بیماری آلزایمر؛ نقش بیوژن میتوکندری

فائقه شاهرضاei (M.Sc)، المیرا بیرامی<sup>\*</sup> (Ph.D)، دلارام اسلیمی اصفهانی (Ph.D)

- گروه علوم جانوری، دانشکده علوم زیستی، دانشگاه خوارزمی، تهران، ایران

تاریخ دریافت: ۱۴۰۱/۱۱/۱۳ تاریخ پذیرش: ۱۴۰۲/۴/۴

Elmira.beirami@knu.ac.ir

\* نویسنده مسئول، تلفن: ۰۲۱-۸۶۰۷۲۷۰۹

### چکیده

**هدف:** بیماری آلزایمر شایع ترین بیماری تحلیل برنده عصبی است که با اختلالات پیش‌رونده شناختی و کاهش حافظه همراه است. انسولین به دلیل اثرات ضدالتهابی، شناختی و محافظتی خود اخیراً مورد توجه زیادی قرار گرفته است. هدف از مطالعه حاضر بررسی اثر تجویز داخل بینی انسولین بر عملکردهای شناختی و بیوژن میتوکندری در موش‌های صحرایی تیمار شده با استرپتوزوتوسین (STZ) بود.

**مواد و روش‌ها:** در این مطالعه تجربی، از ۳۲ سر موش صحرایی نر بالغ نژاد ویستار استفاده شد. به منظور القاء مدل حیوانی بیماری آلزایمر، STZ به صورت دوطرفه در بطن‌های جانبی تزریق شد ( $3\text{ mg/rat}$ ;  $3\text{ }\mu\text{l}$  در هر بطن). ماز آبی موریس جهت بررسی اختلالات شناختی و تایید القاء مدل حیوانی بیماری آلزایمر مورد استفاده قرار گرفت. تیمار توسط تجویز داخل بینی انسولین ( $2\text{ IU/rat/day}$ ;  $10\text{ }\mu\text{l}$  در هر مجرای بینی) پس از تزریق STZ و به مدت ۱۴ روز متواالی انجام گرفت. تغییر در بیان ژن‌های دخیل در بیوژن میتوکندری (TFAM و NRF-1α) در ناحیه هیپوکامپ، توسط تکنیک Real-time PCR اندازه‌گیری شد.

**یافته‌ها:** نتایج حاصل از مطالعه نشان داد که تزریق STZ منجر به اختلال در حافظه فضایی همراه با کاهش بیان ژن‌های دخیل در بیوژن میتوکندری در هیپوکامپ موش‌ها شد. در حالی که، تجویز داخل بینی انسولین باعث کاهش اختلالات شناختی و افزایش بیان ژن‌های دخیل در بیوژن میتوکندری در هیپوکامپ حیوانات تیمار شده با STZ گردید.

**نتیجه‌گیری:** انسولین احتمالاً می‌تواند از طریق تاثیر بر مسیر بیوژن میتوکندری سبب کاهش اختلالات شناختی ناشی از STZ شود، بنابراین می‌تواند به عنوان هدف مهمی برای کاهش نتایج شناختی در بیماران آلزایمری مورد توجه پیش تری قرار بگیرد.

واژه‌های کلیدی: انسولین، بیماری آلزایمر، اختلالات شناختی، بیوژن میتوکندری

مولکولی، پاتولوژیکی و رفتاری بیماران آلزایمری را نشان می‌دهد [۴]. در این خصوص می‌توان به بروز استرس اکسیداتیو، التهاب عصبی، تجمع پروتئین تأثیر هایپرفسفیریله شده، مقاومت به انسولین و نیز اختلالات شناختی اشاره نمود [۵]. از این رو تزریق درون بطنی STZ می‌تواند مدل حیوانی مناسبی را برای القاء بیماری آلزایمر و مطالعه سیگنانینگ‌های مولکولی تخریب شده در این بیماری ارائه دهد [۳].

وجود میتوکندری در سلول‌های عصبی از اهمیت بالایی برخوردار بوده و به عنوان یک اندامک دینامیک برای سلول محسوب می‌شود [۶]. به فرایند افزایش تعداد میتوکندری‌ها بیوژن میتوکندری می‌گویند که برای رخدادهایی همچون تولید انرژی، سیگنانینگ کلسیم و چرخه پیری ضروری بوده و می‌تواند توسط استرس‌های محیطی تحت تأثیر قرار بگیرد [۷]. به عنوان مثال گزارش شده است که در وضعیت بالا رفتمن

### مقدمه

بیماری آلزایمر یک بیماری تحلیل برنده سیستم عصبی است که با کاهش عملکردهای شناختی و تغییر در رفتار نمایان می‌شود. این بیماری با از بین رفتن غیرقابل برگشت نورون‌ها، کاهش سیناپس‌ها و زوال تدریجی توانایی‌های ذهنی از جمله یادگیری و حافظه همراه است [۱]. تجمع پلاک‌های آمیلوئیدی، استرس اکسیداتیو، التهاب عصبی و نیز اختلال در عملکرد میتوکندری از ویژگی‌های نوروپاتولوژیک این بیماری می‌باشد که می‌توانند منجر به مرگ نورونی شوند [۲].

استرپتوزوتوسین (STZ) یک ترکیب گلوکز آمین نیتروز اوره است که خواص ضد باکتریایی و ضد توموری داشته و از طریق آلکیلاسیون DNA می‌تواند منجر به نکروز سلولی شود [۳]. گزارش شده است که تزریق درون بطنی STZ جذب گلوکز مغزی را کاهش داده و نیز اثرات متعددی مشابه با ویژگی‌های

حیوانات آزمایشگاهی و شرایط نگهداری آن‌ها. در این مطالعه تجربی از موش‌های صحرایی نر بالغ نژاد ویستار در محدوده وزنی ۲۰۰–۲۵۰ گرم، خردباری شده از مرکز تکثیر حیوانات آزمایشگاهی دانشگاه خوارزمی، استفاده شد. حیوانات در حیوانخانه‌ای با دمای  $22 \pm 2^\circ\text{C}$ ، رطوبت نسبی  $10 \pm 5\%$  درصد و دوره تاریکی- روشنایی ۱۲ ساعته در گروه‌های چهارتایی و در قفس‌های مخصوص نگهداری شدند. در تمامی مدت نگهداری به جز هنگام آزمایش، حیوانات دسترسی آزاد به آب و غذای مخصوص موش‌ها را داشتند. تست‌های رفتاری بین ساعات ۹ صبح تا ۳ عصر انجام گرفتند. این مطالعه توسط IR.KHU.REC.1401.028 مورد تایید قرار گرفت.

داروها. در این مطالعه از STZ (سیگما، آمریکا)، انسولین (Ins) (شرکت داروسازی اکسپریس، ایران)، کاتامین هیدروکلرايد و زایلازین (شرکت نئوژن، ایران) استفاده شد. STZ بلافالسله قبل از تزریق در نرمال سالین  $9/0$  درصد حل شد. گروه‌های مورد مطالعه. در این مطالعه موش‌ها در ۴ گروه ۸ تایی به ترتیب زیر قرار گرفتند: ۱- گروه کنترل (Conrtol): تزریق درون بطی نرمال سالین ( $3\text{ml}$  در هر بطن) + تجویز داخل بینی نرمال سالین ( $1\text{ml}$  در هر مجرای بینی)، ۲- گروه STZ بدون تیمار (STZ): تزریق درون بطی (mg/rat)  $3\text{mg}/\text{rat}$  در  $3\text{ml}$  در هر بطن) + تجویز داخل بینی نرمال سالین ( $10\text{ml}$  در هر مجرای بینی)، ۳- گروه STZ و تیمار با انسولین (STZ+Ins): تزریق درون بطی STZ ( $3\text{mg}/\text{rat}$ )  $3\text{ml}$  در هر بطن) + تجویز داخل بینی انسولین (Ins): تزریق درون بطی نرمال سالین ( $3\text{ml}$  در هر بطن) + تجویز داخل بینی انسولین (Ins) در هر مجرای بینی)، ۴- گروه انسولین (Ins): تزریق درون بطی نرمال سالین ( $2\text{IU}/\text{rat}/\text{day}$ )  $2\text{IU}$  در هر مجرای بینی،  $10\text{ml}$  در هر روز متواالی انجام گرفت. به این ترتیب که هر حیوان هوشیار روزانه  $20\text{ ml}$  انسولین، محتوى ۲ واحد انسولین (IU2) را در مجرای بینی دریافت می‌نمود ( $10\text{ml}$  در هر مجرای بینی) [۱۴]. پروتکل زمان‌بندی تجویز داروها، انجام تست‌های رفتاری و مطالعات مولکولی در شکل ۱ ارائه شده است.

جراحی استریوتاکس. حیوانات با استفاده از تزریق داخل صفاقی ترکیب کاتامین هیدروکلرايد ( $0.0\text{mg}/\text{kg}$ ) و زایلازین ( $20\text{ mg}/\text{kg}$ ) (Stoelting, USA) بی‌هوش شدند و سپس در دستگاه استریوتاکس (Stoelting, USA) قرار گرفتند. پس از تعیین نقاط برگما و لامیدا، مختصات محل‌های مورد نظر برای تزریق درون بطی (STZ  $3\text{mg}/\text{rat}$ )  $3\text{ml}$  در هر بطن) توسط سرنگ همیلتون، طبق اطلس پاکسینوس به قرار زیر مشخص شد:

استرس اکسیداتیو پاسخ‌های هوموستازی از قبیل بیوژن میتوکندری در سلول‌های عصبی فعال شده و موجب افزایش فعالیت آنزیم‌های آنتی‌اکسیدان سلول و نهایتاً افزایش تعداد میتوکندری‌ها می‌شود [۸]. PGC-1 $\alpha$  به عنوان تنظیم‌کننده اصلی بیوژن میتوکندری، فعال‌کننده فاکتورهای رونویسی همچون FAKTORهای تنفسی هسته‌ای ۱ و ۲ (NRF1,2) و فاکتور رونویسی میتوکندری (TFAM) A می‌باشد. مطالعات نشان داده‌اند که هرگونه اختلال در عملکرد PGC-1 $\alpha$  منجر به اختلال در عملکرد میتوکندری، متابولیسم انرژی و نهایتاً مرگ نورون می‌شود [۹]. همچنین گزارش شده است که نقص در عملکرد میتوکندری و یا نقص در هر یک از مسیرهای درگیر در بیوژن میتوکندری می‌تواند منجر به بیماری‌های تحلیل‌برنده عصبی همچون بیماری آزالایمر شود [۱۰].

تا سه دهه قبل تصور بر این بود که انسولین تنها یک هورمون محیطی است که توسط سلول‌های بنا لانگرهانس به گردش خون ترشح شده و قادر به عبور از سد خونی مغزی نمی‌باشد. اکنون شواهد زیادی مبنی بر عبور انسولین از سد خونی مغزی توسط مکانیسم واپسیه به رسپتور وجود دارد [۱۱]. همچنین مطالعات نشان داده‌اند که انسولین در مغز توسط نورون‌های هرمی هیپوکامپ، کورتکس پره فرونتال و نورون‌های پیاز بویابی سنتز شده و دارای اثرات مهمی ازجمله تنظیم رشد زوائد نورونی، تنظیم انتقال سیناپسی، مهار آپوپتوز و نیز مهار دزتراسیون نورونی است [۱۲]. بعلاوه حضور انسولین و گیرندهای مربوط به آن در هیپوکامپ و کورتکس مغزی دلالت بر اهمیت انسولین در پدیده‌های شناختی همچون حافظه و یادگیری دارد [۱۲]، به طوری که سطوح کاهش یافته انسولین و یا اختلال در سیگنانلینگ آن در بیماری‌های نورودزتراتیو همچون آزالایمر گزارش شده است [۱۳]. با توجه به عدم شناسایی کامل مکانیسم‌های مولکولی زمینه‌ساز بیماری آزالایمر و نیز با توجه به اهمیت بیوژن میتوکندری در فرایندهای شناختی، هدف از مطالعه حاضر بررسی اثر تجویز داخل بینی انسولین بر روی حافظه فضایی و میزان بیان زن‌های دخیل در بیوژن میتوکندری در موش‌های تیمار شده با STZ بود، تا مشخص شود آیا انسولین می‌تواند از طریق تعديل بیان فاکتورهای دخیل در بیوژن میتوکندری موجب بهبود و یا کاهش نقاچی شناختی در یک مدل حیوانی از بیماری آزالایمر گردد یا خیر.

## مواد و روش‌ها

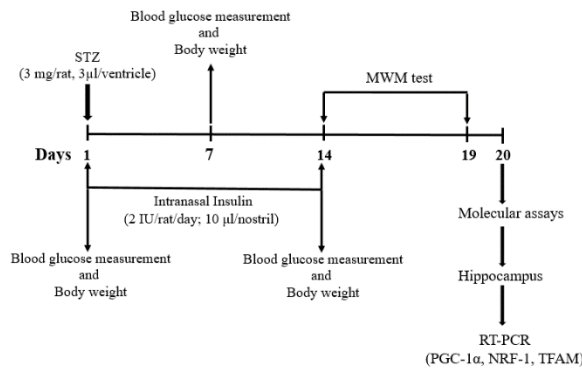
موش صرف یافتن سکو می‌کرد، تحت عنوان (Escape Latency) ثبت شده و به عنوان شاخصی برای ارزیابی حافظه فضایی مورد استفاده قرار گرفت.<sup>۳</sup> مرحله به خاطرآوری یا پیرو布، در این مرحله موش از ربع مقابل ربع هدف به درون ماز رها شد و ۶۰ ثانیه فرصت داشت تا در تانک شنا کند. شاخص‌هایی که برای ارزیابی حافظه فضایی در این مرحله اندازه‌گیری شدند، شامل: مدت زمان صرف شده در ربع هدف (Time in target quadrant)، تعداد دفعات عبور حیوان از جایگاه قبلی سکو (Number of crossing) و مدت زمانی که طول می‌کشید تا حیوان برای اولین بار از جایگاه قبلی سکو عبور کند (Latency to first crossing) بودند. ۳۰ دقیقه بعد از مرحله به خاطرآوری، برای سنجش توانایی‌های حسی - حرکتی و انگیزشی حیوان، ارزیابی قوه بینایی حیوانات با سکوی آشکار آنجام شد. برای انجام این آزمون، سکو در مکانی متفاوت از مرحله قبلی و ۱ cm بالاتر از سطح آب قرار گرفت و سپس به حیوان اجازه داده شد تا به مدت ۶۰ ثانیه شنا کرده و سکو را با استفاده از محرك‌های بصری شناسایی نماید. زمان رسیدن به سکو به عنوان Escape latency ثبت شد [۱۷].

تکنیک Real-Time PCR (RT-PCR) ۲۴ ساعت پس

از اتمام تست‌های رفتاری، حیوانات با ترزیق داخل صفاقی ترکیب کتابمین و زایلزین بی‌هوش شدند و در ظرف مدت ۲۴ ساعت در تانک کوتاهی هیپوکامپ آن‌ها خارج و به مدت ۲۴ ساعت در تانک ازت مایع قرار گرفت و سپس به فریزر  $‐80^{\circ}\text{C}$  منتقل شد. در این مطالعه استخراج RNA از بافت هیپوکامپ بر اساس پروتکل کیت استخراج RNA شرکت پارس طوس (Total RNA Extraction Kit, pars tous) انجام گرفت. کمیت و کیفیت استخراج شده به ترتیب توسط دستگاه نانودرایپ و ژل آکاگرز ۱ درصد ارزیابی شد. سنتر cDNA با استفاده از یک میکروگرم RNA، طق دستورالعمل کیت شرکت پارس طوس (Easy cDNA Synthesis Kit, pars tous) انجام شد. جهت اندازه‌گیری سطوح بیان ژن‌های دخیل در بیوژنر میتوکندری (TFAM و PGC1 $\alpha$ ) و RT-PCR مورد استفاده قرار گرفت. محلول واکنش در حجم نهایی  $1\mu\text{l}$  تشکیل شد، که شامل  $2\mu\text{l}$  cDNA،  $1\mu\text{l}$  از پرایمرهای Forward و Reverse و  $7/5\mu\text{l}$  مستر میکس حاوی Syb ergreen و  $2/5\mu\text{l}$  آب م قطره دو بار تقطیر یود. واکنش با استفاده از دستگاه

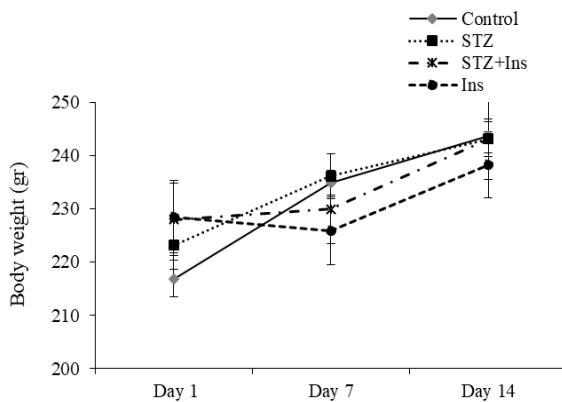
از اتمام تزریق، حدود ۱ دقیقه سرنگ در محل تزریق باقی ماند تا ماده تزریق شده به خارج از ناحیه پس زده نشود، سپس محل جراحی بخیه و استریل شد. انتخاب دوز STZ (۳mg/rat) و تزریق آن به صورت تک دوز در روز اول، جهت القاء مدل حیوانی بیماری آلزایمر، بر اساس مطالعات قبلی انجام گرفت [۱۵، ۱۶].

**مطالعات مولکولی** ۱. پروتکل زمانبندی تجویز داروها و انجام تست‌های رفتاری و



ارزیابی حافظه فضایی. برای ارزیابی حافظه فضایی از تست ماز آبی موریس (Morris water maze; MWM) استفاده شد.

این تست شامل یک تانک شنا با پوشش داخلی سیاه رنگ با قطر ۲۵۲ cm و عمق ۶۲ cm است، که حدوداً ۴۵ cm از آن با آبی با دمای تقریبی  $20^{\circ}\text{C}$  پر می‌شود. ماز به چهار قسمت مساوی و هم‌چنین چهار نقطه شروع تقسیم می‌شود. یک سکوی پنهان دایره‌ای شکل با قطر ۲۲ cm در مرکز ربع هدف و با فاصله ۲ cm در زیر آب قرار گرفته است، که تنها راه نجات حیوان از غرق شدن است. علاوه‌بر فضایی متنوعی بر روی دیواره تلقی که ماز در آن قرار دارد، تعییه شده است که به حیوان در زمان استراحت بر روی سکویی کم می‌کند تا بتواند سکوی پنهان را مسیریابی کند. در طول انجام تست، مسیر حرکت حیوان توسط دوربینی که در بالای ماز نصب شده است، ردیابی و ثبت می‌شود. در این مطالعه، این تست در ۶ روز متوالی و در ۳ مرحله متفاوت به ترتیب زیر انجام گرفت: (۱) مرحله آشنایی، در این مرحله موش به مدت ۶۰ ثانیه در درون تانک قرار گرفت تا آزادانه در محیط ماز شنا کرده و با محیط آن آشنا شود. (۲) مرحله آموزش یا یادگیری، در این مرحله موش از یک محل مشخص به درون ماز رها شد و ۶۰ ثانیه فرصت داشت تا سکو را پیدا کند و اگر موفق به این کار نمی‌شد، به سمت سکو راهنمایی شده و برای مدت ۲۰ ثانیه اجازه استراحت بر روی سکو به حیوان داده شد. این مرحله به مدت ۴ روز و هر روز در ۴ مرحله تکرار شد. در طول این ۴ روز مدت زمانی که



شکل ۲. اثر تزریق درون بطنی STZ و تجویز داخل بینی انسولین بر روی وزن بدن حیوانات. نتایج نشان داد که تفاوت معنی‌داری در وزن بدن حیوانات در بین گروه‌های مختلف وجود نداشت.

تجویز داخل بینی انسولین تغییری در سطح گلوکز خون محیطی حیوانات ایجاد نکرد. در مطالعه حاضر برای اطمینان از عدم تغییر گلوکز خون محیطی و عدم ایجاد هایپوگلیسیمیا، که ممکن است فعالیت‌های رفتاری حیوانات را تحت تاثیر قرار بدنهند، ۳۰-۴۰ دقیقه بعد از تجویز داخل بینی انسولین/نرمال سالین گلوکز خون توسط خون‌گیری از دم حیوان هوشیار و با استفاده از دستگاه گلوکومتر (Accu-Chek Go (Roche) glucometer) اندازه‌گیری شد (حدود ۲۰-۱۵ دقیقه طول می‌کشد تا انسولین در رت از راه بینی وارد مغز شود [۱۹]). نتایج آزمون آماری ANOVA یک طرفه نشان داد که تجویز داخل بینی انسولین/نرمال سالین تغییری در میزان گلوکز خون محیطی حیوانات گروه‌های مختلف ایجاد نکرد  $P>0.05$  [F(۳, ۲۸)=۰.۷۳۸، جدول ۲].

جدول ۲. اثر تجویز داخل بینی انسولین بر روی گلوکز خون محیطی. نتایج نشان داد که تفاوت معنی‌داری در میزان گلوکز خون محیطی در بین گروه‌های آزمایشی مختلف وجود نداشت.

Group	Blood Glucose (mg/dl)
Control	128.63 ± 1.36
STZ	127.25 ± 1.37
STZ+Ins	126.88 ± 1.38
Ins	126 ± 0.91

تجویز داخل بینی انسولین منجر به کاهش اختلال در یادگیری و حافظه فضایی در موش‌های تیمار شده با STZ گردید. آنالیز آماری داده‌ها توسط Repeated measures ANOVA در روزهای یادگیری تست ماز آبی موریس نشان داد که حیوانات در تمامی گروه‌ها با گذشت زمان بهبودی در یادگیری را از نظر زمان سیری شده جهت رسیدن به سکو در طول روزهای مختلف نشان دادند  $P<0.001$  [F(۲/۳۹۴, ۶۷)=۴۹/۹۲، همچنین تفاوت معنی‌داری در

Applied Biosystems Step One, USA دمایی ۹۵ °C به مدت ۱۵ دقیقه (۱۰ پرسخه)، تکرار ۴۰ پرسخه شامل: ۹۵ °C به مدت ۳۰ ثانیه، ۶۰ °C به مدت ۳۰ ثانیه و ۷۲ °C به مدت ۳۰ ثانیه انجام گرفت. توالی پرایمرهای مورد استفاده در این مطالعه (جدول ۱)، به کمک نرم‌افزار Oligo analysis طراحی و توسط شرکت تکاپوز بست سنتز شدند. پس از پایان واکنش نتایج بیان زن به صورت کمی به دست آمد و آنالیز آن‌ها با استفاده از فرمول  $2^{-\Delta\Delta Ct}$  انجام گرفت. نتایج تمام ژن‌ها نسبت به ژن بتا-اکتین، به عنوان کنترل داخلی، نرمال‌باز شد و سپس مقایسه بین گروه‌ها انجام گرفت [۱۸].

جدول ۱. توالی پرایمرهای مورد استفاده در این مطالعه

Gene	Forward primer (5'-3')	Reverse primer (5'-3')
PGC-1α	GTCAGCCAAGACTCTGTATGG	GTCCAGGTCAATTACATCAAGTTC
NRF-1	AAATTGGGCCACATTACAGGG	GTTGCATCTCTGAGAACGCG
TFAM	AGAGTGTTCATTGGGATTGG	CATTCACTGGGAGAACGTC
β-actin	TCTATCCTGGCCTCACTGTC	AACCGAGCTCAGTAACACTCC

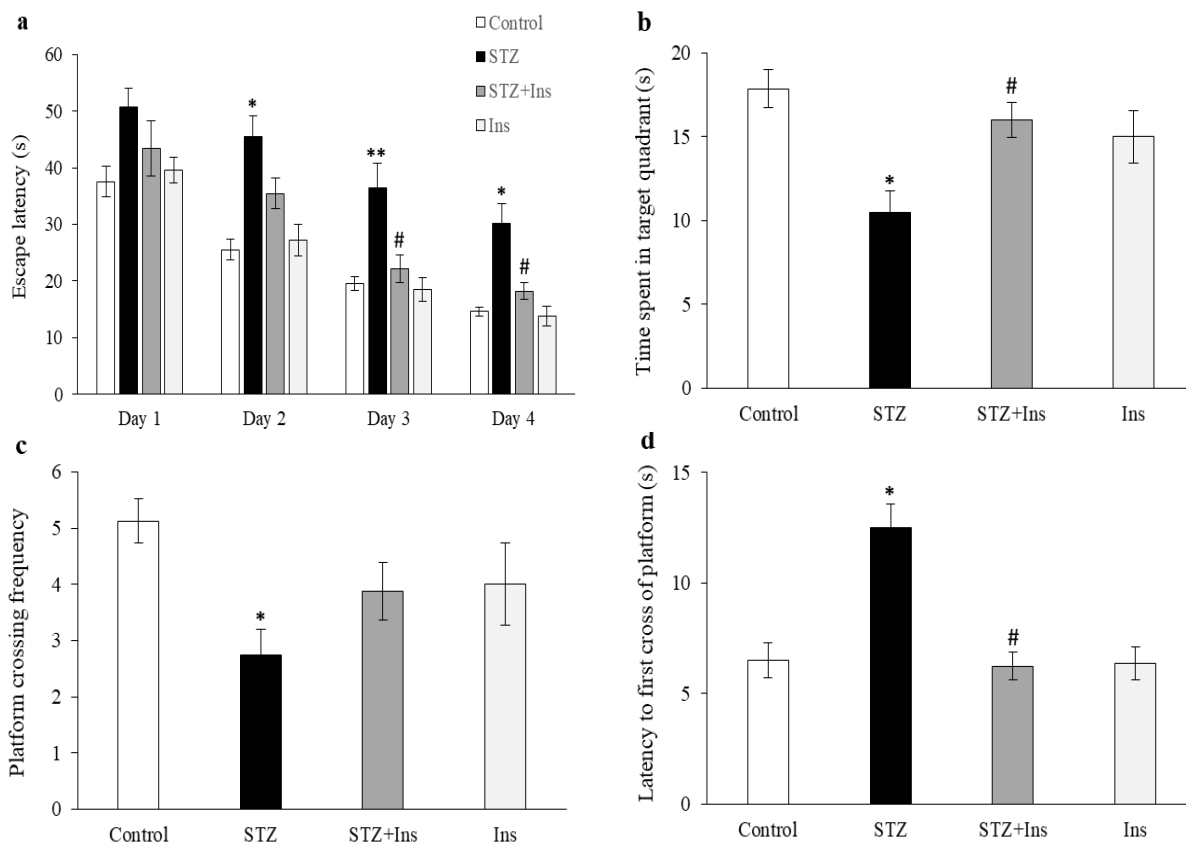
روش تجزیه و تحلیل داده‌ها. برای تجزیه و تحلیل داده‌ها از نرم‌افزار SPSS نسخه ۲۱ استفاده شد. آزمون واریانس یک طرفه و دوطرفه جهت آنالیز داده‌ها مورد استفاده قرار گرفت و در صورت معنادار شدن از آزمون تعقیب توکی برای مشخص شدن تفاوت بین گروه‌ها استفاده شد.  $P<0.05$  به عنوان سطح معنادار بودن در نظر گرفته شد. داده‌ها به صورت Mean ± SEM در نظر گرفته شد. داده‌ها به صورت Mean ± SEM به صورت  $P<0.05$  بیان شدند.

## نتایج

تزریق درون بطنی STZ و تجویز داخل بینی انسولین تغییری در وزن بدن حیوانات ایجاد نکرد. به منظور بررسی اثر تزریق درون بطنی STZ و همچنین تجویز داخل بینی انسولین بر وزن بدن حیوانات، در تمامی گروه‌ها وزن حیوانات در روز ۱ (قبل از جراحی)، روز ۷ و همچنین بعد از آخرین تجویز داخل بینی انسولین (روز ۱۴) اندازه‌گیری شد. آنالیز آماری Repeated-measures ANOVA نشان داد که گذشت زمان و تزریق داروها تغییری در وزن بدن حیوانات گروه‌های مختلف ایجاد نکردند (شکل ۲). اثر درمان بر روی وزن بدن  $P>0.05$  [F(۳, ۲۸)=۱/۵۲۷، جدول ۲]. اثر زمان بر روی وزن بدن  $P>0.05$  [F(۳, ۲۸)=۰/۴۱۹، جدول ۲]، اثر تیمار × زمان بر روی وزن بدن  $P>0.05$  [F(۳, ۲۸)=۰/۵۳۴، P>0.05].

یافته شده (شکل ۳b و ۳c). حیوانات گروه STZ همچنان در مقایسه با گروه کنترل مدت زمان بیشتری را جهت اولین عبور از جایگاه قبلی سکو در روز آزمون صرف کردند ( $P<0.05$ ) ( $F(3,28)=3/418, P<0.001$ ) (شکل ۳d). در حالی که، تجویز داخل بینی انسولین به مدت ۱۴ روز، به طور چشمگیری سبب بهبود پارامترهای مذکور در حیوانات تیمار شده با STZ گردید ( $P<0.05$ ) (شکل ۳b و ۳d). لازم به ذکر است که این بهبودی در رابطه با تعداد دفعات عبور از جایگاه قبلی سکو از لحاظ آماری معنی دار نبود ( $P>0.05$ ) (شکل ۳c). حیواناتی که انسولین را به تنهایی دریافت کرده بودند، هیچگونه تفاوت معنی داری را در پارامترهای مذکور نسبت به گروه کنترل نشان ندادند ( $P>0.05$ ). همچنان تفاوت معنی داری در ارزیابی قوه بینایی حیوانات با سکوی آشکار و نیز سرعت شناشی حیوانات مشاهده نشد (نتایج گزارش نشده اند).

بین گروههای مختلف در طی روزهای یادگیری مشاهده شد [ $F(3,28)=12/63, P<0.001$ ] آنالیز بین گروهی نشان داد که حیوانات گروه STZ در مقایسه با گروه کنترل در روزهای ۲ تا ۴ به طور معنی داری مدت زمان بیشتری را جهت رسیدن به سکو (Escape latency) صرف کردند (به ترتیب  $P<0.05$  و  $P<0.01$  و  $P<0.001$ ) (شکل ۳a). نتایج ما همچنان آشکار نمود که تجویز داخل بینی انسولین به حیوانات تیمار شده با STZ سبب کاهش میزان Escape latency در طی ۴ روز آموزش در مقایسه با گروه STZ شد، که این کاهش در روزهای ۳ و ۴ از لحاظ آماری در سطح معنی داری قرار داشت ( $P<0.05$ ) (شکل ۳a). در روز به خاطرآوری (پروب)، نتایج آزمون آماری ANOVA یک طرفه نشان داد که مدت زمان گذرانده شده در ربع هدف [ $F(3,28)=4/107, P<0.05$ ] و نیز تعداد دفعات عبور از جایگاه قبلی سکو [ $F(3,28)=2/236, P<0.05$ ] در گروه STZ در مقایسه با گروه کنترل به طور معنی داری کاهش



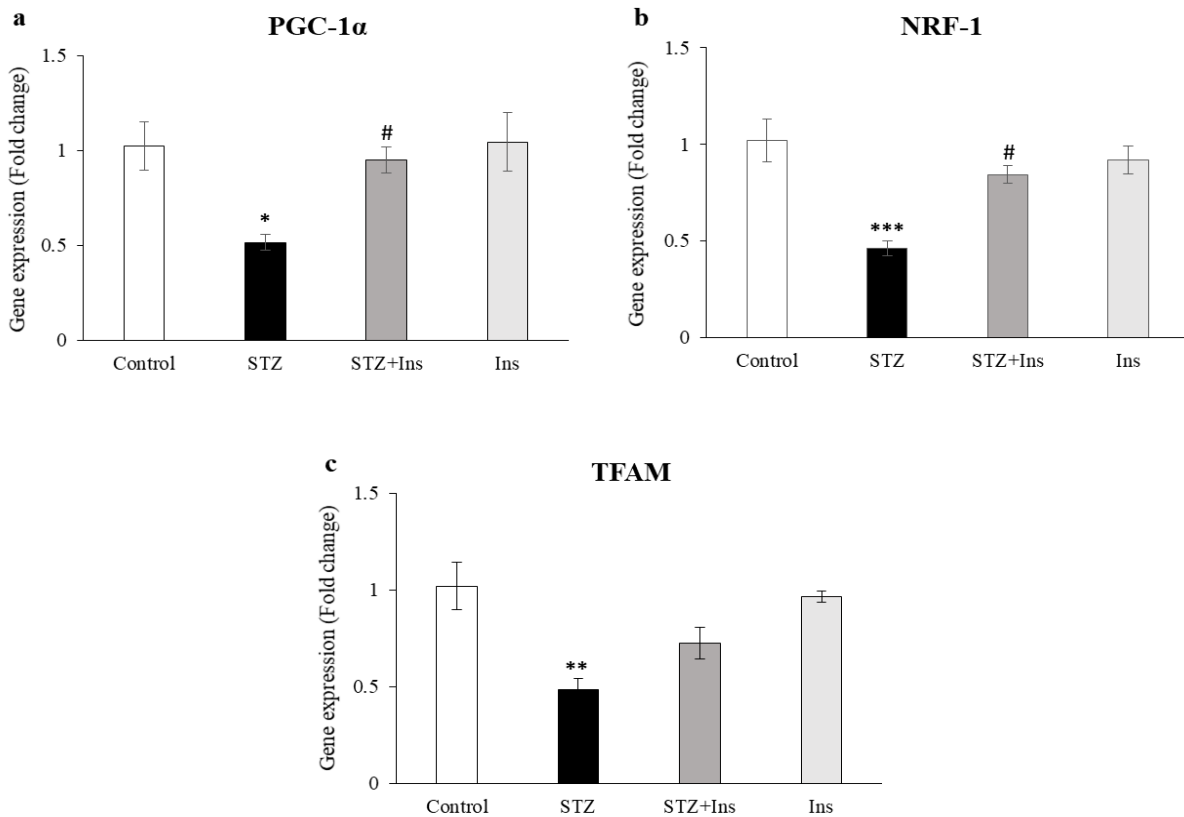
شکل ۳. اثر تجویز داخل بینی انسولین بر روی اختلالات شناختی ناشی از تزریق درون بطی STZ. تجویز داخل بینی انسولین به موش های تیمار شده با STZ سبب کاهش دیرکرد رسیدن به سکو در طول روزهای آموزش (a)، افزایش مدت زمان گذرانده شده در ربع هدف (b) (a)، افزایش مدت زمان گذرانده شده در ارزیابی کاهش نداد (c). (d) شد، اما تعداد دفعات عبور از ربع هدف را از لحاظ آماری کاهش نداد ( $*P<0.05$  و  $#P<0.01$  در مقایسه با گروه کنترل،  $\#P<0.05$  در مقایسه با گروه STZ).

STZ گردید. آزمون آماری ANOVA یک طرفه نشان داد که تزریق درون بطی STZ منجر به کاهش معنی دار در بیان

تجویز داخل بینی انسولین سبب افزایش بیان ژن های دخیل در بیوژنر میتوکندری در هیپوکامپ موش های تیمار شده با

نسبت به گروه STZ شد ( $P < 0.05$ ), اما این افزایش در مورد TFAM از لحاظ آماری معنی دار نبود ( $P > 0.05$ ). در واقع انسولین توانست تا حدود زیادی اختلال در بیوژن میتوکندری ناشی از تزریق STZ را کاهش دهد. انسولین به تهایی تاثیری بر روی بیان ژن‌های مذکور نسبت به گروه کنترل نداشت ( $P > 0.05$ ).

ژن‌های PGC-1 $\alpha$  [F(۳،۱۲)= ۵/۲۳۶،  $P<0.05$ ] و NRF-1 [F(۳،۱۲)= ۱۱/۰۶۹،  $P<0.001$ ] در شکل ۴a و شکل ۴b از تجربه مذکور آمده است. همچنان که در شکل ۴c نشان داده شد، TFAM [F(۳،۱۲)= ۹/۰۹۱،  $P<0.01$ ] در هیپوکامپ موش‌ها شد. به طور جالب توجهی تجویز داخل بینی انسولین به حیوانات تیمار شده با STZ منجر به افزایش بیان ژن‌های دخیل در بیوژن میتوکندری در هیپوکامپ این حیوانات



شکل ۴. اثر تجویز داخل بینی انسولین بر روی اختلالات بیوژن میتوکندری ناشی از تزريق درون بطنی STZ. تجویز داخل بینی انسولین به موش های تیمار شده با STZ منجر به افزایش بیان زن PGC-1 $\alpha$  (a) و NRF-1(b) نسبت به گروه STZ شد، اما افزایش بیان زن TFAM از لحاظ آماری معنی دار نبود (c).

قرار داده و می توانند با تخریب سلول های عصبی و القاء اخلالات شناختی باعث بروز بیماری های نورودژنراتیو هم چون بیماری آرایمرون شوند [۲۲].

تاکنون مطالعات انجام شده در رابطه با تاثیر STZ بر روی عملکردهای میتوکندری، به خصوص بیوژن میتوکندری، بسیار محدود میباشد، بنابراین یکی از اهداف مطالعه حاضر این بود که آیا STZ میتواند با اثر بر روی بیان ژن های دخیل در بیوژن میتوکندری سبب اختلالات شناختی شود یا خیر. نتایج مطالعه ما نشان داد که ترریق درون بطنی STZ منجر به کاهش بیان ژن های دخیل در بیوژن میتوکندری همچون NRF-1، PGC-1 $\alpha$  و TFAM در هیپوکامپ موش ها شد، که دلالت بر تاثیر STZ در کاهش بیوژن میتوکندری دارد. در این راستا، مطالعه ای نشان داده است که ترریق درون بطنی STZ به موش های صحرایی، با

بحث و نتیجه‌گیری

نتایج بخش رفتاری مطالعه حاضر نشان داد که تزریق درون بطنی STZ موجب ایجاد اختلال در حافظه فضایی موش‌ها در تست ماز آبی موریس شد. در توافق با یافته‌های ما، مطالعات نشان داده‌اند که تزریق درون بطنی STZ با تغییرات رفتاری بسیاری همراه می‌باشد، به طوری که اختلال در حافظه و یادگیری ناشی از تزریق STZ در موش‌های صحرایی به طور گستردگی اکثر از تزریق شده است [۱۵، ۲۰، ۳۲]. مطالعات همچنین نشان داده‌اند که موش‌های تیمار شده با تزریق درون بطنی STZ طیف وسیعی از تغییرات پاتولوژیک همچون افزایش فسفوریل‌اسیون بروتئین تأؤ، مقاومت به انسولین، التهاب عصبی، استرس اکسیداتیو و نقص در سیستم کولینرژیک را نشان می‌دهند [۲۱]. تمامی این عوامل پاتولوژیک عملکردهای عصبی را تحت تاثیر

[۲۹]. مطالعات دیگر نیز نشان داده‌اند که تجویز داخل بینی انسولین با کاهش التهاب عصبی، کاهش بیان پروتئین آمیلوئید بتا، کاهش استرس اکسیداتیو، کاهش آپوپتوز، افزایش بیان فاکتورهای نوروتروفیک و نیز افزایش بیان فاکتورهای دخیل در مسیر سیگنالینگ انسولین سبب بهبود حافظه فضایی در مoshهای صحرایی مدل بیماری آزایمر می‌شود [۱۴,۳۰].

در این مطالعه همچنین اثر تجویز داخل بینی انسولین بر روی بیان ژن‌های دخیل در بیوژنر میتوکندری مورد بررسی قرار گرفت، تا مشخص شود آیا انسولین می‌تواند با تاثیر بر روی مسیر بیوژنر میتوکندری سبب کاهش اختلالات شناختی ناشی از STZ شود. نتایج مطالعه ما نشان داد که تجویز داخل بینی انسولین به حیوانات تیمار شده با STZ سبب افزایش معنی‌دار در بیان ژن‌های دخیل در بیوژنر میتوکندری در هیپوکامپ این حیوانات شد. مطالعات پیشین نشان داده‌اند که انسولین در انجام عملکردهای میتوکندری دخیل می‌باشد، به‌طوری‌که عدم حضور انسولین باعث دیلاریزاسیون میتوکندری و به دنبال آن تولید رادیکال‌های آسیب‌رسان ROS می‌شود [۳۱]. مطالعه‌ی دیگر نیز بیان کاهش یافته PGC-1 $\alpha$  و NRF-1 را در مقاومت به انسولین و در بیماران دیابتی نشان داده است [۹]. به علاوه گزارشاتی مبنی بر دخالت انسولین در عملکرد فاکتورهای CREB و eNOS و PGC-1 $\alpha$ ، که در فعال‌سازی STZ و بیوژنر میتوکندری دخیل هستند، وجود دارد [۳۲]. از طرفی مشاهده شده است که اختلال در مسیرهای سیگنالیگ انسولین، به خصوص مسیر PI3K/Akt، با تحت تاثیر قرار دادن عملکردهای میتوکندری می‌تواند منجر به بروز اختلال در فرایندهای شناختی همچون حافظه و یادگیری در مoshهای صحرایی شود [۳۳].

با توجه به نقش مهم التهاب عصبی در بروز بیماری‌های نورودزئراتیو همچون بیماری آزایمر، از محدودیت‌های این مطالعه می‌توان به انجام مطالعات ایمونو‌هیستوشیمی و ارزیابی بیان فاکتورهای دخیل در التهاب عصبی در بافت هیپوکامپ گروههای مورد بررسی در این مطالعه اشاره نمود، که انجام آن برای مطالعات آتی پیشنهاد می‌شود.

به طور کلی، نتایج حاصل از این مطالعه نشان داد که تزریق درون بطنی STZ منجر به اختلال در حافظه فضایی مoshهای صحرایی در تست ماز آبی موریس شد که با اختلال در مسیر بیوژنر میتوکندری همراه بود. در صورتی که تجویز داخل بینی انسولین به طور چشمگیری منجر به افزایش توانایی یادگیری و حافظه فضایی و نیز افزایش بیان ژن‌های دخیل در بیوژنر میتوکندری در هیپوکامپ Moshهای تیمار شده با STZ گردید. بنابراین تجویز داخل بینی انسولین می‌تواند به عنوان یک راهکار

ایجاد اختلال در فعالیت آنزیم‌های میتوکندری مغز منجر به بروز اختلالات شناختی در این Moshها می‌شود [۲۳]. بعلاوه گزارش شده است که در مدل حیوانی بیماری آزایمر القاء شده با STZ، ناهنجاری‌های میتوکندری همچون مورفوژری غیرطبیعی، کاهش بیوسنتر آدنوزین تری فسفات (ATP) و تجمع ROS مشاهده می‌شود [۲۴]. همچنین نشان داده شده است که اختلال در عملکرد میتوکندری و بروز استرس اکسیداتیو نقش‌های اساسی را در آسیب‌شناسی بیماری‌های نورودزئراتیو ایفاء می‌کند [۲۲]. با توجه به نتایج حاصل از مطالعه حاضر و یافته‌های مطالعات قبلی، این احتمال وجود دارد که STZ حداقل بخشی از اثرات خود در تخریب حافظه را با تاثیر بر روی بیوژنر میتوکندری اعمال کرده است. از این‌رو، یافتن راهکارهای درمانی که بتوانند منجر به کاهش اختلال در عملکردهای میتوکندری به خصوص بیوژنر میتوکندری شوند، می‌توانند از پیشرفت بیماری آزایمر تا حدود زیادی جلوگیری نمایند.

در مطالعه حاضر جهت کاهش اختلالات شناختی ناشی از تزریق STZ از تجویز داخل بینی انسولین استفاده شد. طبق گزارشات اخیر تجویز داخل بینی انسولین روش مناسبی را برای مطالعه اثرات کوتاه‌مدت و بلندمدت انسولین بر روی بیماری‌های نورودزئراتیو همچون بیماری آزایمر فراهم می‌کند [۲۵]. در این روش تجویز، انسولین به راحتی وارد نواحی مختلف مغز همچون نواحی درگیر در فرایندهای شناختی از جمله هیپوکامپ و کورتکس شده و بر خلاف سایر روش‌های تزریق از جمله تزریق داخل وریدی و یا زیرجلدی، که روش‌های تهاجمی بوده و همراه با اثرات جانبی همانند هایپوگلیسمیا می‌باشند، در تجویز داخل بینی انسولین، میزان گلوكز خون محیطی و نیز انسولین بدون تغییر باقی می‌ماند [۲۶]. هم‌راستا با این گزارشات، نتایج حاصل از مطالعه ما نیز نشان داد که تجویز داخل بینی انسولین به مدت ۱۴ روز بدون ایجاد تغییر در میزان گلوكز خون محیطی منجر به کاهش اختلال در حافظه فضایی Moshهای تیمار شده با STZ گردید. در این خصوص مطالعات پیشین نیز نشان داده‌اند که تیمار Moshهای صحرایی مدل بیماری آزایمر با تجویز داخل بینی انسولین سبب بهبود یادگیری و حافظه در این حیوانات می‌شود [۱۴,۲۸,۲۷]. مطالعه‌ی دیگر نیز نشان داده است که تجویز داخل بینی انسولین، بدون تغییر در گلوكز خون محیطی، سبب بهبود حافظه در بیماران مبتلا به آزایمر و نیز افرادی با اختلالات خفیف شناختی می‌شود [۲۵]. هم‌چنین گزارش شده است که تجویز داخل بینی انسولین به Moshهایی با اختلال حافظه ناشی از ضربه مغزی (تروما) باعث بهبود حافظه، کاهش التهاب عصبی و نیز کاهش حجم ضایعه ناشی از ترومما در هیپوکامپ این Moshها می‌شود.

<https://doi.org/10.3892/etm.2016.3465>

PMid:27602077 PMCid:PMC4998213

[9] Halling JF, Pilegaard H. PGC-1 $\alpha$ -mediated regulation of mitochondrial function and physiological implications. *Appl Physiol Nutr Metab* 2020; 45: 927-936.

<https://doi.org/10.1139/apnm-2020-0005>

PMid:32516539

[10] Singulani MP, Pereira CP, Ferreira AF, Garcia PC, Ferrari GD, Alberici LC, et al. Impairment of PGC-1 $\alpha$ -mediated mitochondrial biogenesis precedes mitochondrial dysfunction and Alzheimer's pathology in the 3xTg mouse model of Alzheimer's disease. *Exp Gerontol* 2020; 133: 110882.

<https://doi.org/10.1016/j.exger.2020.110882>

PMid:32084533

[11] Duarte AI, Moreira PI, Oliveira CR. Insulin in central nervous system: more than just a peripheral hormone. *J Aging Res* 2012; 2012: 384017.

<https://doi.org/10.1155/2012/384017>

PMid:22500228 PMCid:PMC3303591

[12] Agrawal R, Reno CM, Sharma S, Christensen C, Huang Y, Fisher SJ. Insulin action in the brain regulates both central and peripheral functions. *Am J Physiol Endocrinol Metab* 2021; 321: 156-163.

<https://doi.org/10.1152/ajpendo.00642.2020>

PMid:34056920 PMCid:PMC8321819

[13] Ferreira ST. Brain insulin, insulin-like growth factor 1 and glucagon-like peptide 1 signalling in Alzheimer's disease. *J Neuroendocrinol* 2021; 33: e12959.

<https://doi.org/10.1111/jne.12959>

PMid:33739563

[14] Rajasekar N, Nath C, Hanif K, Shukla R. Intranasal insulin administration ameliorates streptozotocin (ICV)-induced insulin receptor dysfunction, neuroinflammation, amyloidogenesis, and memory impairment in rats. *Mol Neurobiol* 2017; 54: 6507-6522.

<https://doi.org/10.1007/s12035-016-0169-8>

PMid:27730514

[15] Mehla J, Pahuja M, Gupta YK. Streptozotocin-induced sporadic Alzheimer's disease: selection of appropriate dose. *J Alzheimers Dis* 2013; 33: 17-21.

<https://doi.org/10.3233/JAD-2012-120958>

PMid:22886014

[16] Verma V, Singh D, KH R. Sinapic acid alleviates oxidative stress and neuro-inflammatory changes in sporadic model of Alzheimer's disease in rats. *Brain Sci* 2020; 10: 923.

<https://doi.org/10.3390/brainsci10120923>

PMid:33266113 PMCid:PMC7760902

[17] Ronaghi A, Zibaii MI, Pandamooz S, Nourzei N, Motamedi F, Ahmadiani A, et al. Entorhinal cortex stimulation induces dentate gyrus neurogenesis through insulin receptor signaling. *Brain Res Bull* 2019; 144: 75-84.

<https://doi.org/10.1016/j.brainresbull.2018.11.011>

PMid:30472148

[18] Rao X, Huang X, Zhou Z, Lin X. An improvement of the 2'-(delta delta CT) method for quantitative real-time polymerase chain reaction data analysis. *Biostat Bioinforma Biomath* 2013; 3: 71-85.

[19] Gizararson S. Anatomical and histological factors affecting intranasal drug and vaccine delivery. *Curr Drug Deliv* 2012; 9: 566-582.

<https://doi.org/10.2174/156720112803529828>

PMid:22788696 PMCid:PMC3480721

[20] Bassani TB, Bonato JM, Machado MM, Còppola-Segovia V, Moura EL, Zanata SM, et al. Decrease in adult neurogenesis and neuroinflammation are involved in spatial memory impairment in the streptozotocin-induced model of sporadic Alzheimer's disease in rats. *Mol Neurobiol* 2018; 55: 4280-4296.

<https://doi.org/10.1007/s12035-017-0645-9>

PMid:28623617

[21] Halawany AM, Sayed NS, Abdallah HM, Dine RS. Protective effects of gingerol on streptozotocin-induced sporadic Alzheimer's disease: emphasis on inhibition of  $\beta$ -amyloid, COX-2, alpha, beta-secretases and APH1a. *Sci Rep* 2017; 7: 2902.

<https://doi.org/10.1038/s41598-017-02961-0>

PMid:28588301 PMCid:PMC5460182

درمانی امیدوارکننده برای کاهش و یا بهبود نتایج شناختی در بیماران آلزایمری پیشنهاد شده و کیفیت زندگی این افراد را بهبود بخشد.

## تشکر و قدردانی

نویسنده‌گان از معاونت پژوهشی دانشگاه خوارزمی بابت حمایت از این پژوهش قدردانی می‌کنند.

## مشارکت و نقش نویسنده‌گان

فائقه شاهرضایی: انجام مطالعات حیوانی، جمع آوری داده‌ها، المیرا بیرامی: ایده و طراحی مطالعه، آنالیز و تفسیر نتایج، نگارش مقاله، دلارام اسلامی اصفهانی: نگارش نسخه نهایی مقاله. همه نویسنده‌گان نتایج را بررسی نموده و نسخه نهایی مقاله را تایید نمودند.

## منابع

[1] Calsolaro V, Femminella GD, Rogani S, Esposito S, Franchi R, Okoye C, et al. Behavioral and psychological symptoms in dementia (BPSD) and the use of antipsychotics. *Pharmaceuticals (Basel)* 2021; 14: 246.

<https://doi.org/10.3390/ph14030246>

PMid:33803277 PMCid:PMC8002184

[2] Javadpour P, Askari S, Rashidi FS, Dargahi L, Ahmadiani A, Ghasemi R. Imipramine alleviates memory impairment and hippocampal apoptosis in STZ-induced sporadic Alzheimer's rat model: Possible contribution of MAPKs and insulin signaling. *Behav Brain Res* 2021; 408: 113260.

<https://doi.org/10.1016/j.bbr.2021.113260>

PMid:33775777

[3] Akhtar A, Dhaliwal J, Saroj P, Uniyal A, Bishnoi M, Sah SP. Chromium picolinate attenuates cognitive deficit in ICV-STZ rat paradigm of sporadic Alzheimer's-like dementia via targeting neuroinflammatory and IRS-1/PI3K/AKT/GSK-3 $\beta$  pathway. *Infammopharmacology* 2020; 28: 385-400.

<https://doi.org/10.1007/s10787-019-00681-7>

PMid:31898080

[4] Grieb P. Intracerebroventricular streptozotocin injections as a model of Alzheimer's disease: in search of a relevant mechanism. *Mol Neurobiol* 2016; 53: 1741-1752.

<https://doi.org/10.1007/s12035-015-9132-3>

PMid:25744568 PMCid:PMC4789228

[5] Moosavi M, Hooshmandi E, Javadpour P, Maghsoudi N, Katinger H, Ghasemi R. Effect of carbamylated erythropoietin Fc fusion protein (CEPO-Fc) on learning and memory impairment and hippocampal apoptosis induced by intracerebroventricular administration of streptozotocin in rats. *Behav Brain Res* 2020; 384: 112554.

<https://doi.org/10.1016/j.bbr.2020.112554>

PMid:32057828

[6] Chan DC. Fusion and fission: interlinked processes critical for mitochondrial health. *Annu Rev Genet* 2012; 46: 265-287.

<https://doi.org/10.1146/annurev-genet-110410-132529>

PMid:22934639

[7] Popov LD. Mitochondrial biogenesis: An update. *J Cell Mol Med* 2020; 24: 4892-4899.

<https://doi.org/10.1111/jcmm.15194>

PMid:32279443 PMCid:PMC7205802

[8] Wang G, Song Y, Feng W, Liu L, Zhu Y, Xie X, et al. Activation of AMPK attenuates LPS-induced acute lung injury by upregulation of PGC1 $\alpha$  and SOD1. *Exp Ther Med* 2016; 12: 1551-1555.

intranasal insulin administration in amyloid  $\beta$  oligomer induced Alzheimer's like rat model. *Exp Gerontol* 2022; 164: 111812.

<https://doi.org/10.1016/j.exger.2022.111812>

PMid:35476966

[29] Brabazon F, Wilson CM, Jaiswal S, Reed J, Frey Nd WH, Byrnes KR. Intranasal insulin treatment of an experimental model of moderate traumatic brain injury. *J Cereb Blood Flow Metab* 2017; 37: 3203-3218.

<https://doi.org/10.1177/0271678X16685106>

PMid:28058996 PMCid:PMC5584695

[30] Rajasekar N, Nath C, Hanif K, Shukla R. Intranasal insulin exerts beneficial effects by improving cerebral blood flow, Nrf-2 expression and BDNF in STZ (ICV) induced memory-impaired rats. *Life Sci* 2017; 173: 1-10.

<https://doi.org/10.1016/j.lfs.2016.09.020>

PMid:27693383

[31] Hong CT, Chen KY, Wang W, Chiu JY, Wu D, Chao TY, et al. Insulin resistance promotes parkinson's disease through aberrant expression of  $\alpha$ -synuclein, mitochondrial dysfunction, and deregulation of the polo-like kinase 2 signaling. *Cells* 2020; 9: 740.

<https://doi.org/10.3390/cells9030740>

PMid:32192190 PMCid:PMC7140619

[32] Piantadosi CA, Carraway MS, Babiker A, Suliman HB. Heme oxygenase-1 regulates cardiac mitochondrial biogenesis via Nrf2-mediated transcriptional control of nuclear respiratory factor-1. *Circ Res* 2008; 103: 1232-1240.

<https://doi.org/10.1161/01.RES.0000338597.71702.ad>

PMid:18845810 PMCid:PMC2694963

[33] Beirami E, Oryan S, Tamjani SM, Ahmadiani A, Dargahi L. Intranasal insulin treatment restores cognitive deficits and insulin signaling impairment induced by repeated methamphetamine exposure. *J Cell Biochem* 2018; 119: 2345-2355.

<https://doi.org/10.1002/jcb.26398>

PMid:28884876

[22] Rai S, Kamat PK, Nath C, Shukla R. Glial activation and post-synaptic neurotoxicity: the key events in Streptozotocin (ICV) induced memory impairment in rats. *Pharmacol Biochem Behav* 2014; 117: 104-117.

<https://doi.org/10.1016/j.pbb.2013.11.035>

PMid:24333387

[23] Correia SC, Santos RX, Santos MS, Casadesus G, Lamanna JC, Perry G, et al. Mitochondrial abnormalities in a streptozotocin-induced rat model of sporadic Alzheimer's disease. *Curr Alzheimer Res* 2013; 10: 406-419.

<https://doi.org/10.2174/1567205011310040006>

PMid:23061885

[24] Ruiz A, Alberdi E, Matute C. Mitochondrial division inhibitor 1 (mdivi-1) protects neurons against excitotoxicity through the modulation of mitochondrial function and intracellular Ca<sup>2+</sup> signaling. *Front Mol Neurosci* 2018; 11: 3.

<https://doi.org/10.3389/fnmol.2018.00003>

PMid:29386996 PMCid:PMC5776080

[25] Craft S, Raman R, Chow TW, Rafii MS, Sun CK, Rissman RA, et al. Safety, efficacy, and feasibility of intranasal insulin for the treatment of mild cognitive impairment and Alzheimer disease dementia. *JAMA Neurol* 2020; 77: 1099-1109.

<https://doi.org/10.1001/jamaneurol.2020.1840>

PMid:32568367 PMCid:PMC7309571

[26] Santiago JCP, Hallschmid M. Outcomes and clinical implications of intranasal insulin administration to the central nervous system. *Exp Neurol* 2019; 317: 180-190.

<https://doi.org/10.1016/j.expneurol.2019.03.007>

PMid:30885653

[27] Farzampour S, Majdi A, Sadigh-Eteghad S. Intranasal insulin treatment improves memory and learning in a rat amyloid-beta model of Alzheimer's disease. *Physiol Int* 2016; 103: 344-353.

<https://doi.org/10.1556/2060.103.2016.3.7>

PMid:28229638

[28] Bazrgar M, Khodabakhsh P, Dargahi L, Mohagheghi F, Ahmadiani A. MicroRNA modulation is a potential molecular mechanism for neuroprotective effects of

## Evaluating the effect of intranasal insulin administration on spatial memory in an animal model of Alzheimer's disease; the role of mitochondrial biogenesis

Faeghe Shahrezaee (M.Sc), Elmira Beirami (Ph.D)<sup>\*</sup>, Delaram Eslimi Esfahani (Ph.D)

- Department of Animal Biology, Faculty of Biological Sciences, Kharazmi University, Tehran, Iran

\* Corresponding author. +98 21 86072709 elmira.beirami@knu.ac.ir

Received: 2 Feb 2023 ; Accepted: 25 Jun 2023

**Introduction:** Alzheimer's disease (AD) is the most common neurodegenerative disease, which is associated with progressive cognitive disorders and memory loss. Insulin has recently gained more attention for its anti-inflammatory, cognitive, and protective effects. This study aimed to investigate the effect of intranasal insulin administration on cognitive functions and mitochondrial biogenesis in rats treated with streptozotocin (STZ).

**Materials and Methods:** In this experimental study, 32 adult male Wistar rats were used. Correspondingly, to induce an animal model of AD, STZ was injected bilaterally in the lateral ventricles (3 mg/rat; 3 µl/ventricle). Morris water maze was used to investigate cognitive disorders and confirm the induction of the AD animal model. Treatment was performed by intranasal insulin administration (2 IU/rat/day; 10 µl/nostril) after STZ injection for 14 consecutive days. Changes in the expression of genes involved in mitochondrial biogenesis (PGC-1 $\alpha$ , NRF-1, and TFAM) were measured by Real-time PCR technique in the hippocampus.

**Results:** The results of the study showed that STZ injection led to spatial memory disorder concomitant with a decrease in the expression of genes involved in mitochondrial biogenesis in the hippocampus of rats. Whereas, intranasal insulin administration reduced cognitive disorders and increased the expression of genes involved in mitochondrial biogenesis in the hippocampus of animals treated with STZ.

**Conclusion:** Insulin can reduce STZ-induced cognitive disorders by affecting the mitochondrial biogenesis pathway, so it can be considered an important target for reducing cognitive deficits in AD patients.

**Keywords:** Insulin, Alzheimer Disease, Cognitive Disorders, Mitochondrial Biogenesis